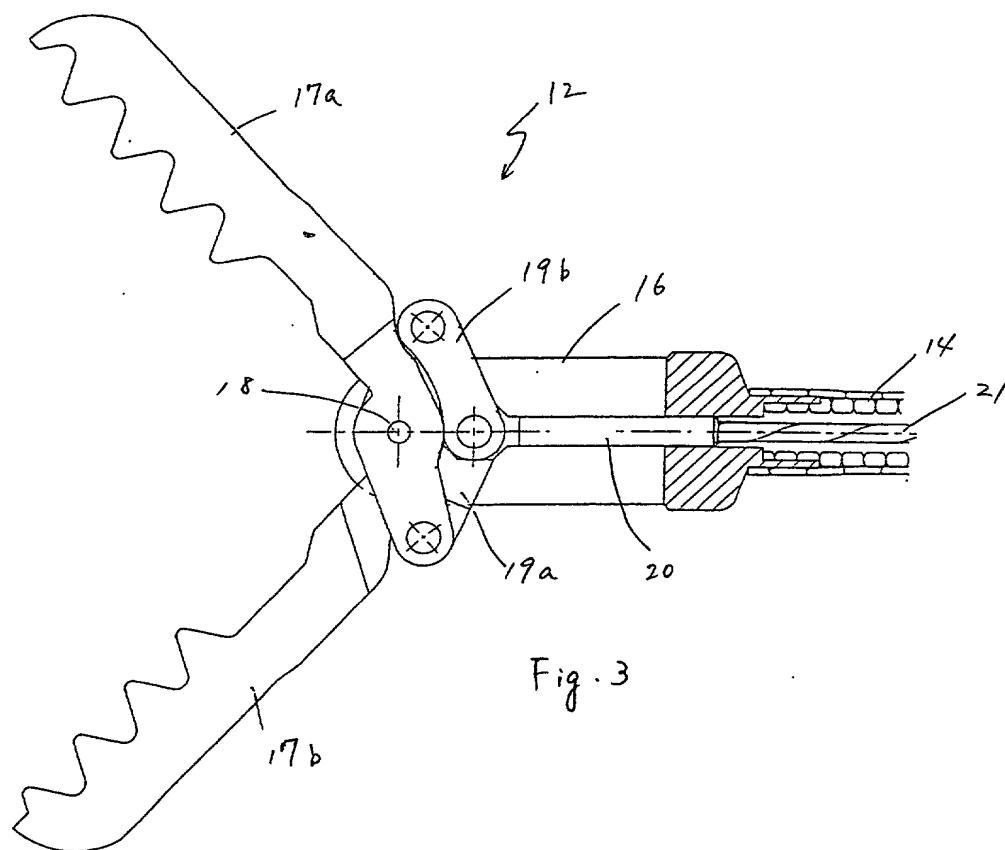
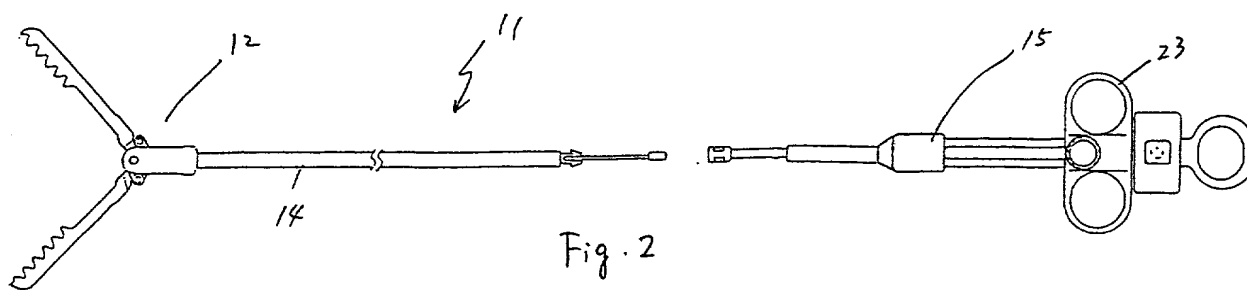
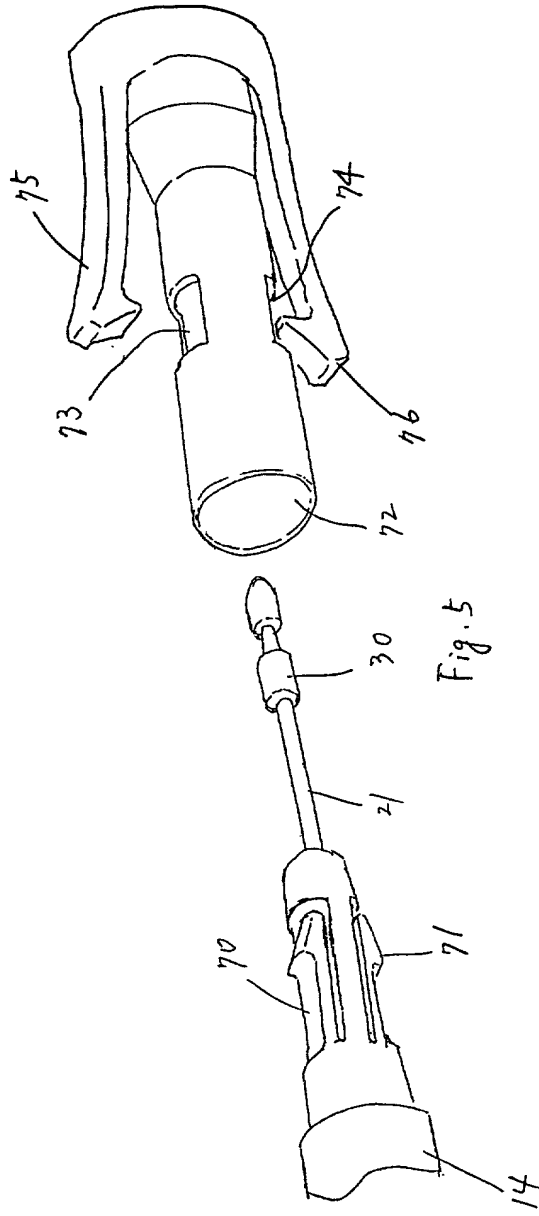


Fig. 1.





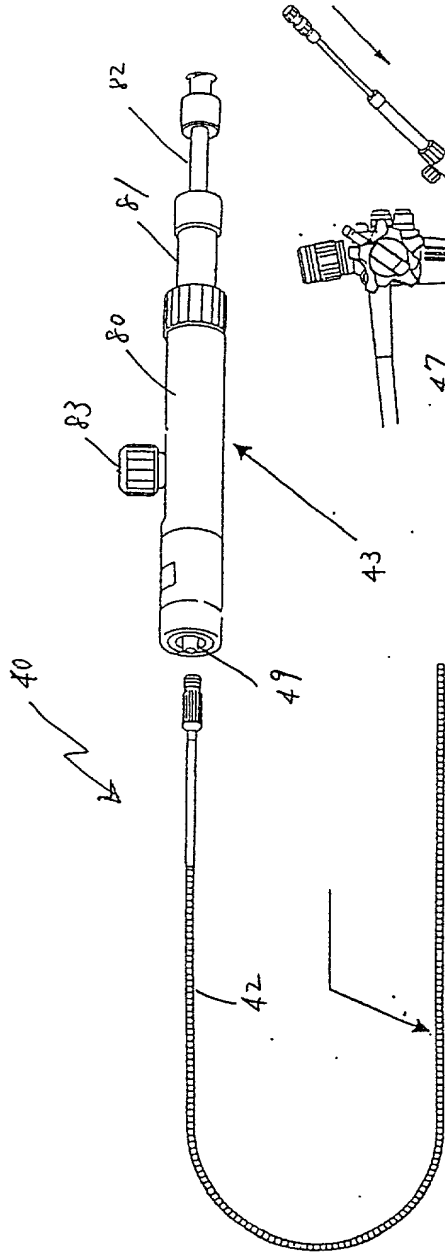


Fig. 7

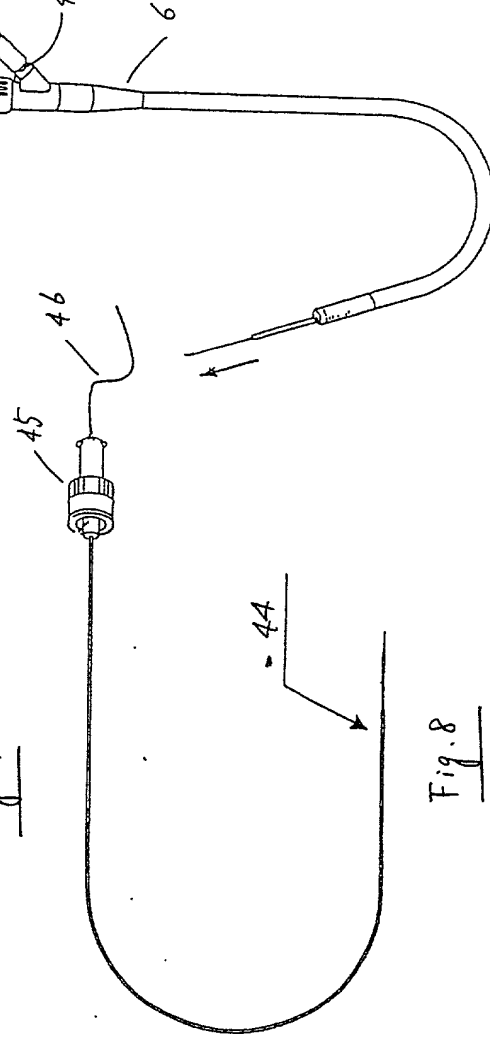


Fig. 8

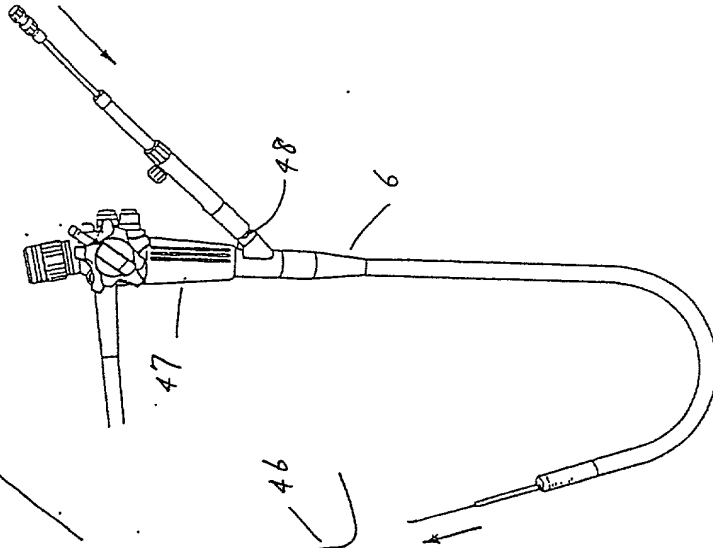
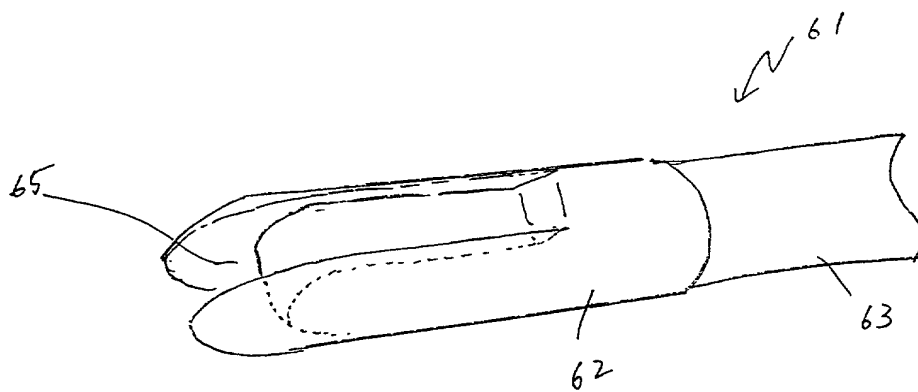
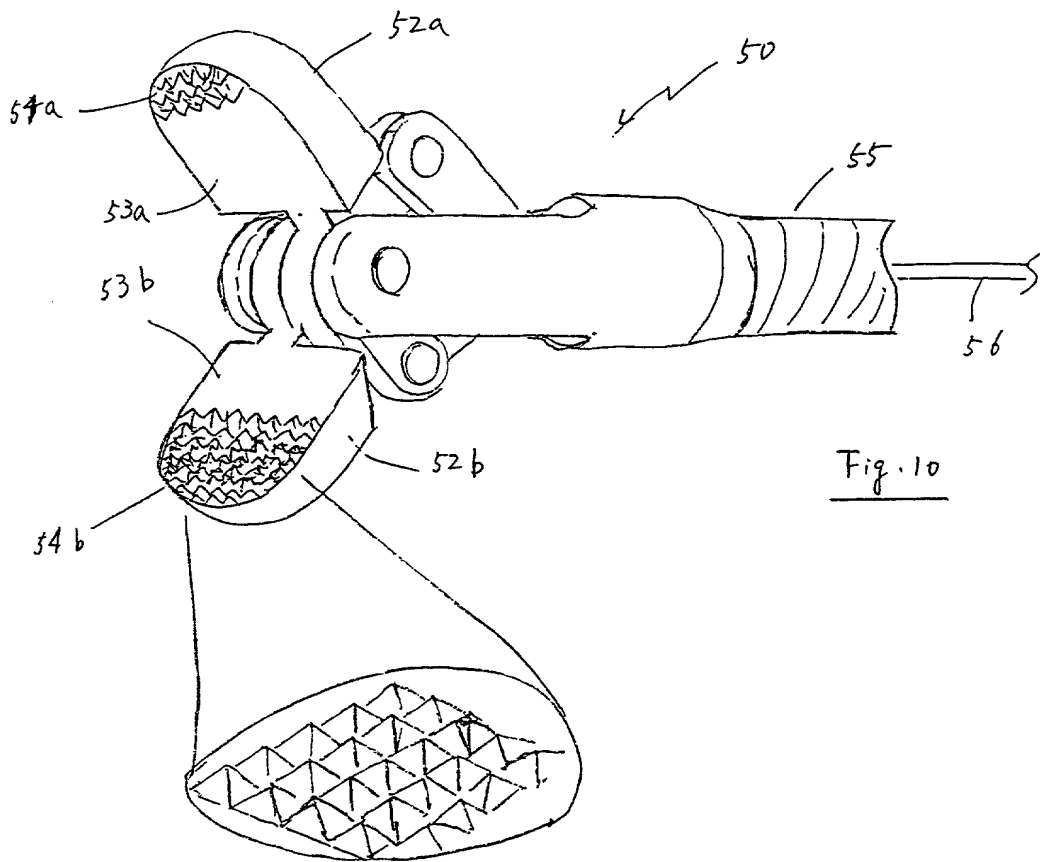


Fig. 9



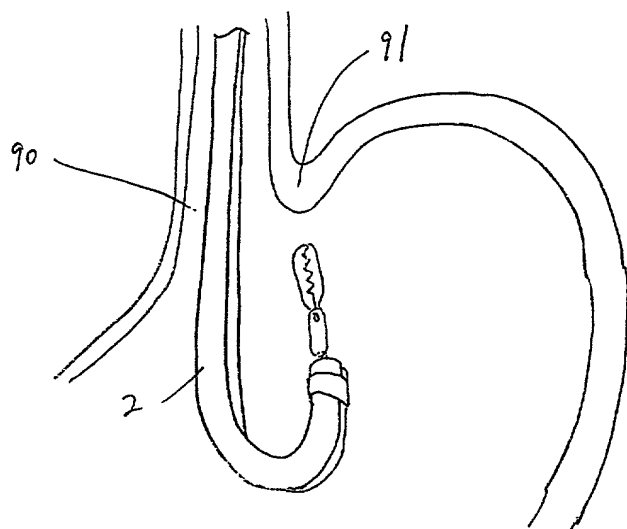


Fig. 12

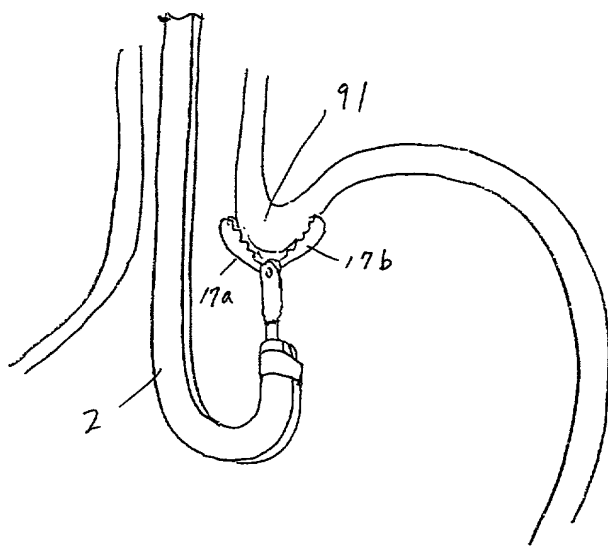


Fig. 13

60

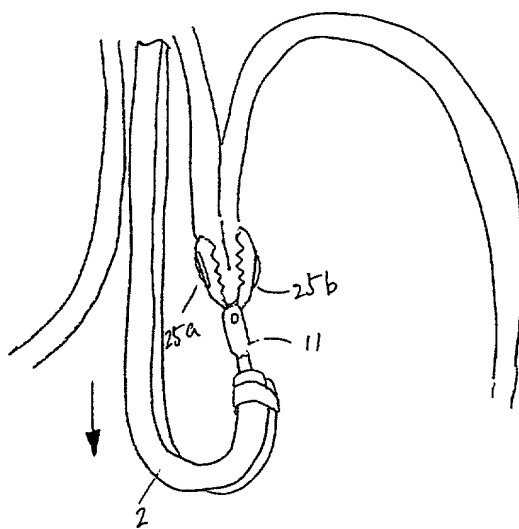


Fig. 14

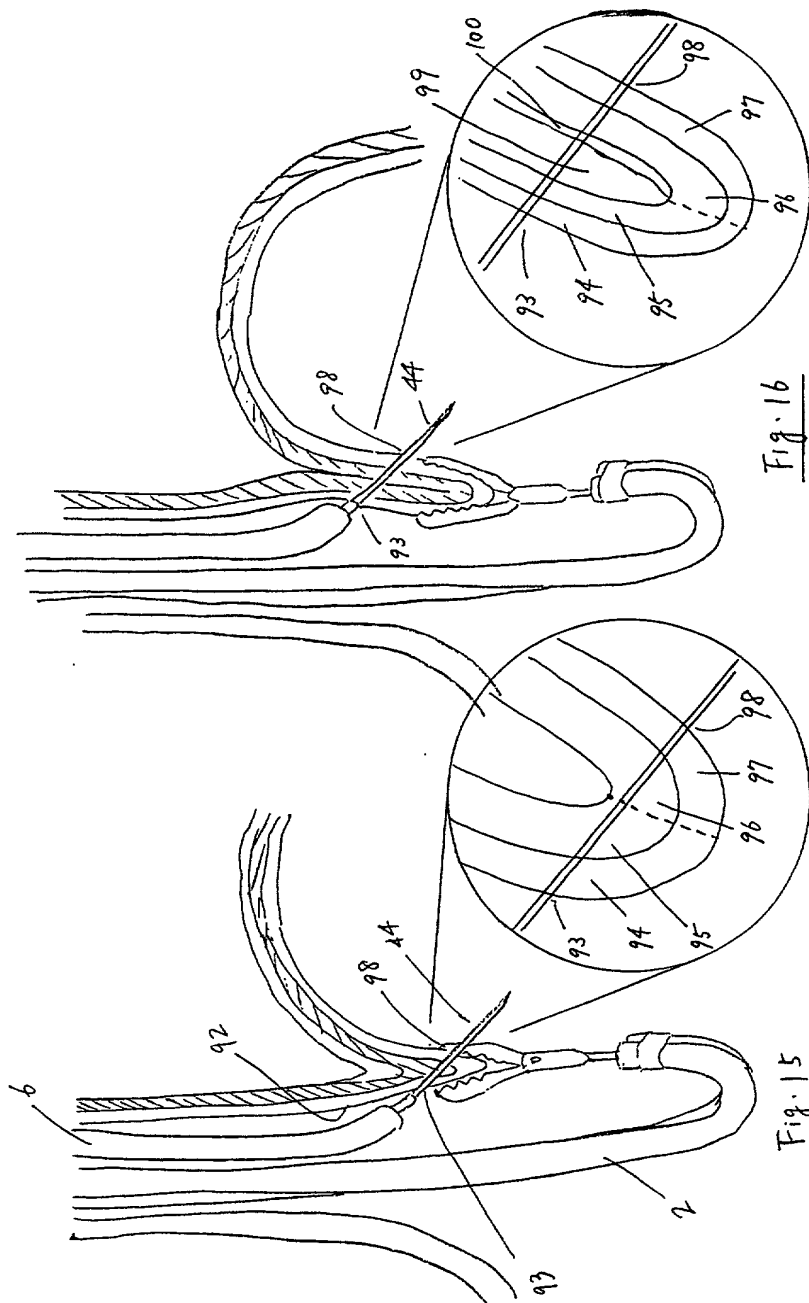
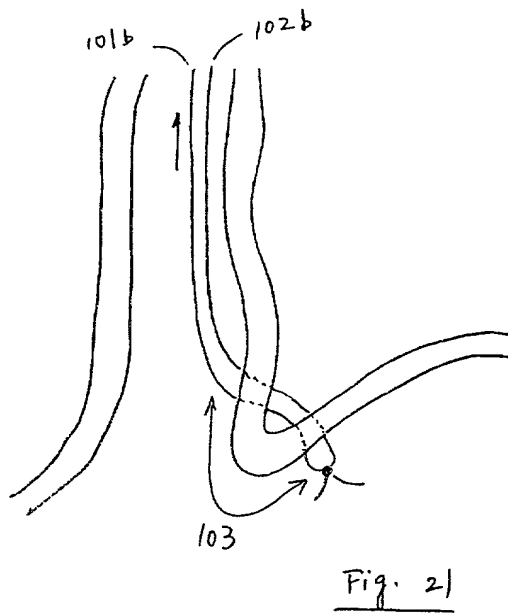
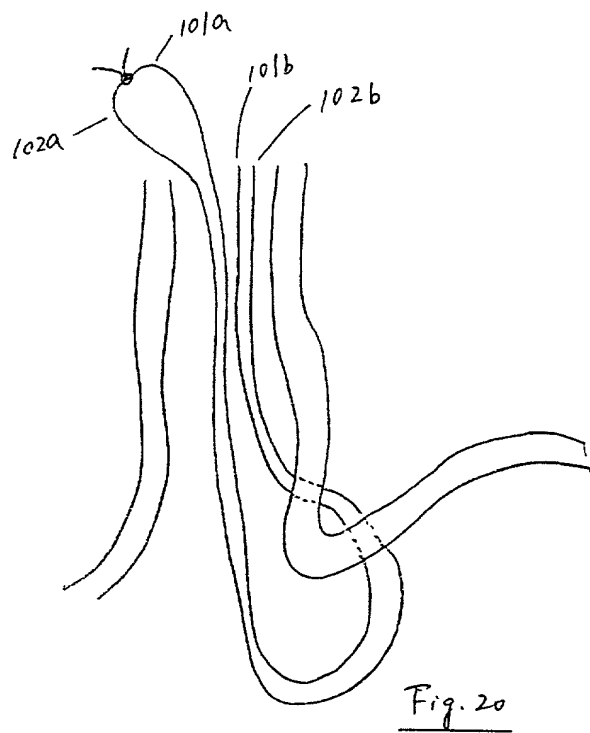
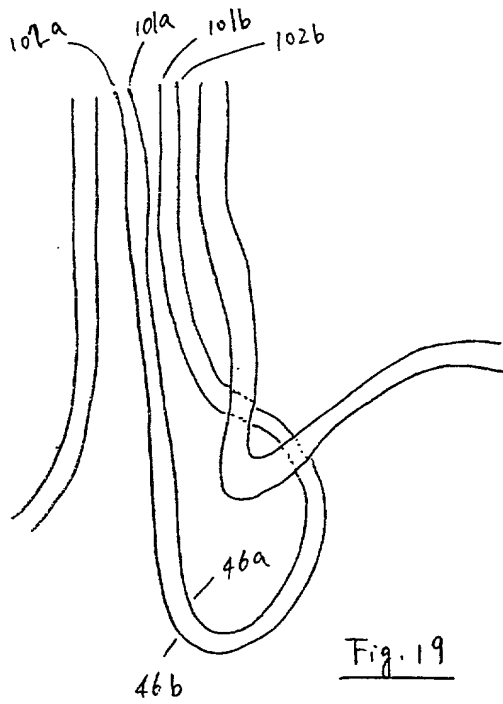
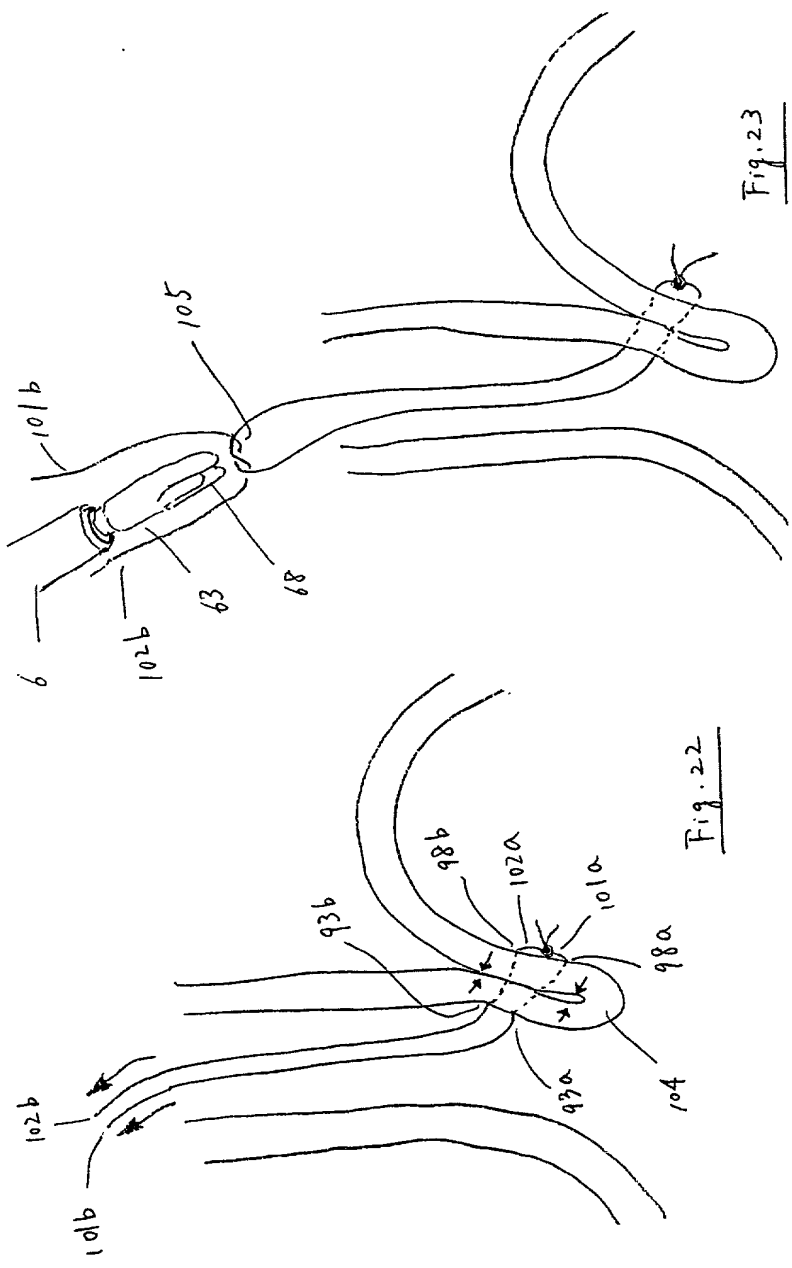


Fig. 16

Fig. 15





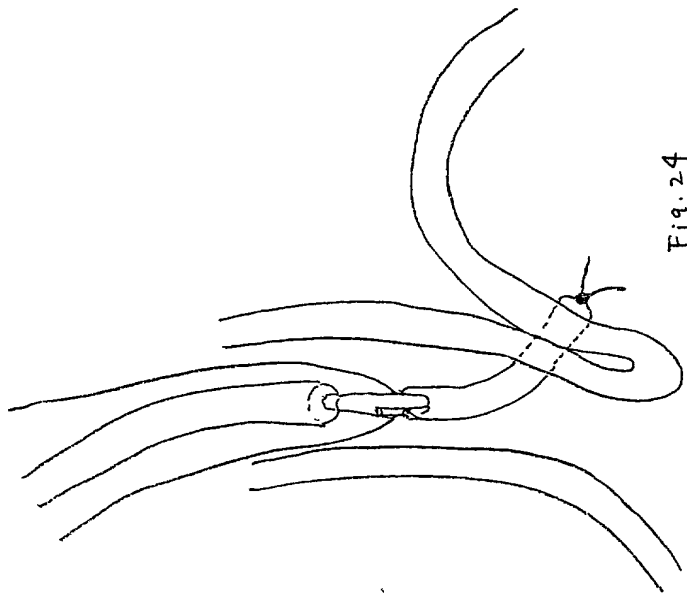


Fig. 24

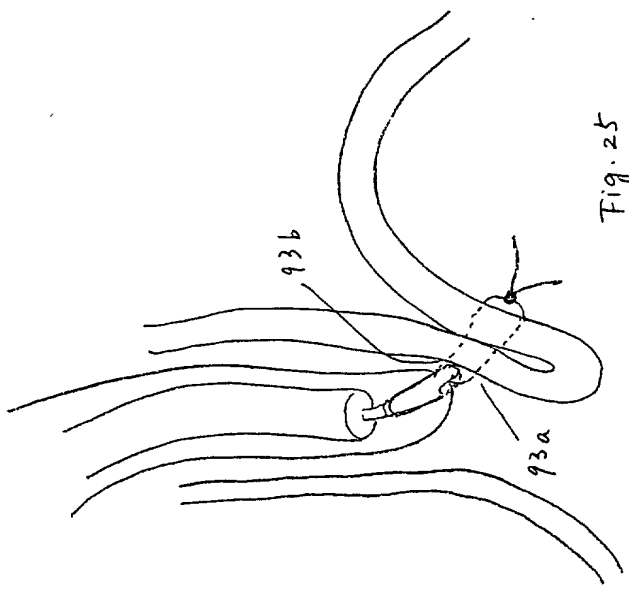


Fig. 25

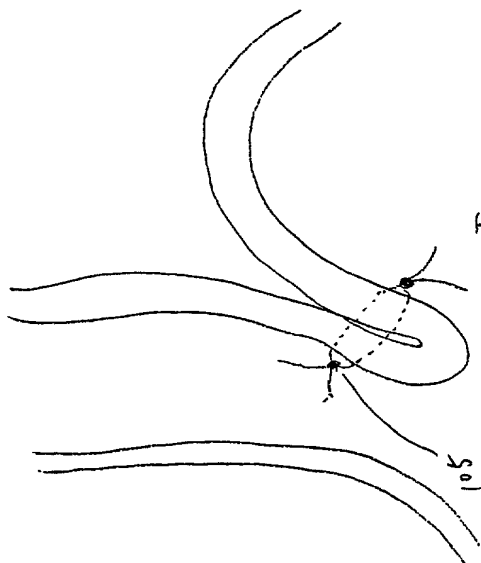


Fig. 26

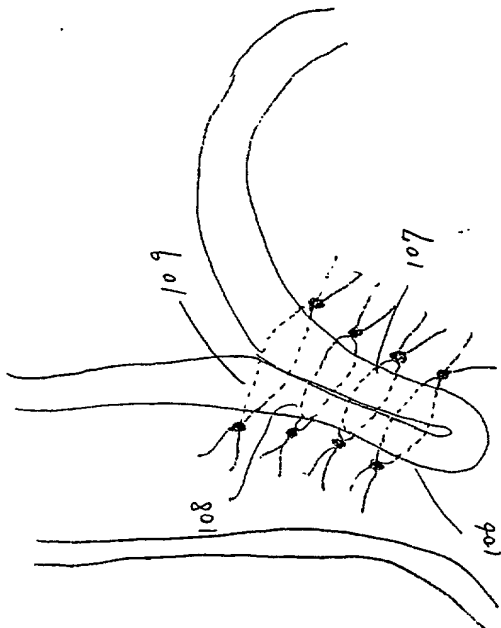


Fig. 27

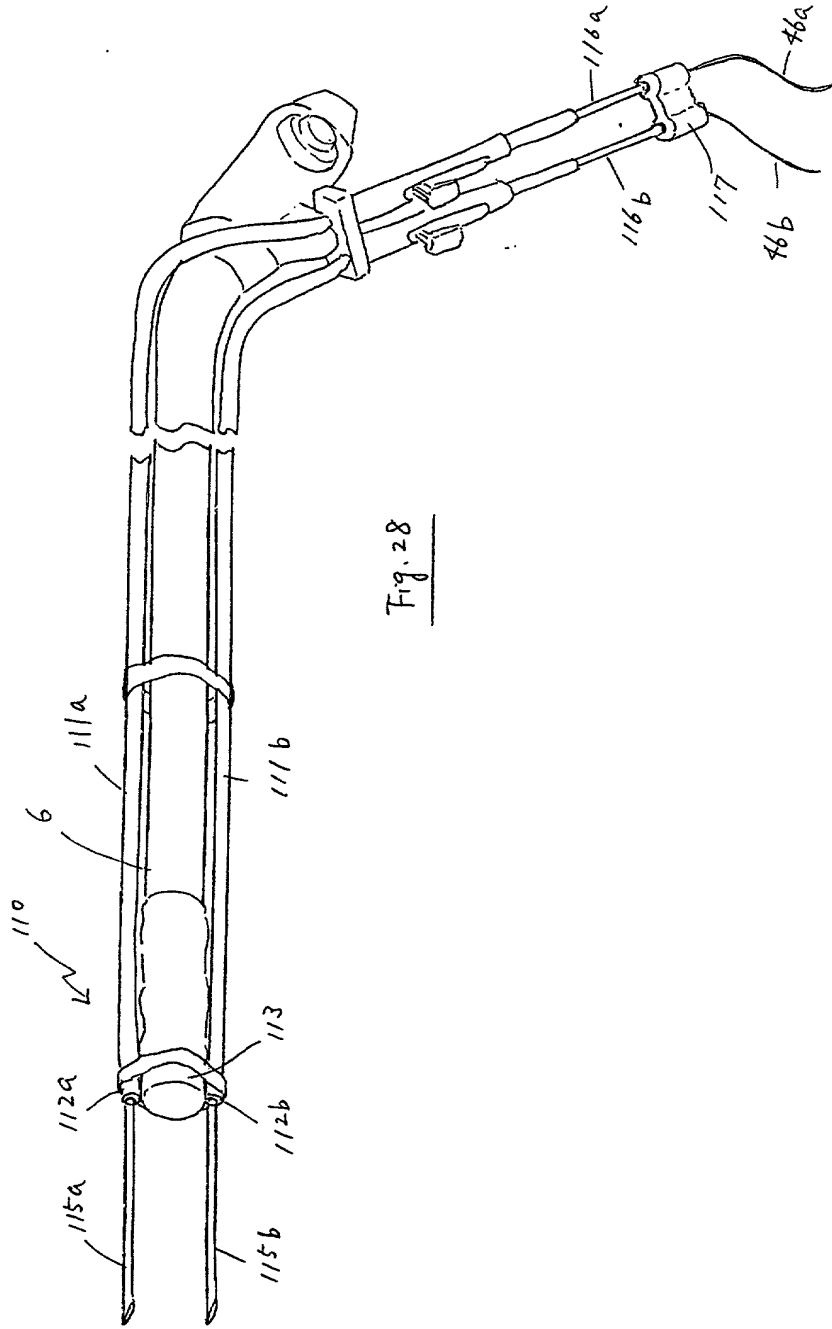


Fig. 28

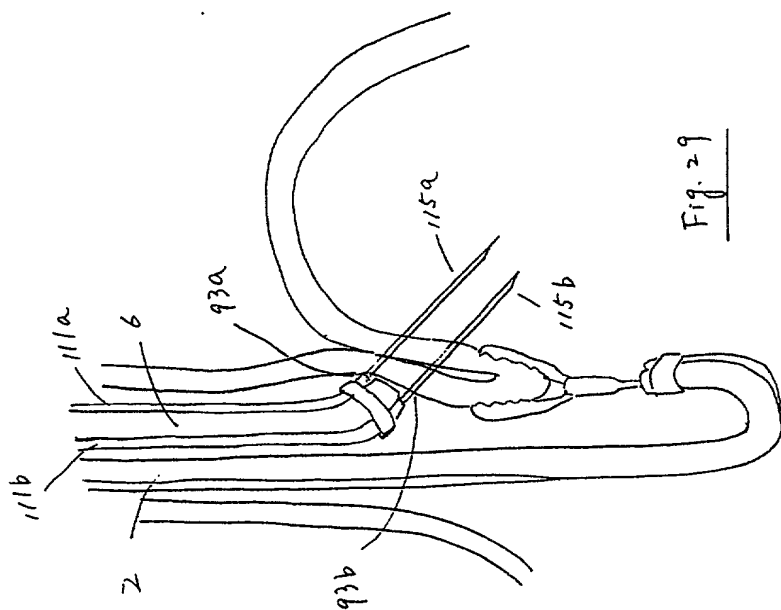


Fig. 29

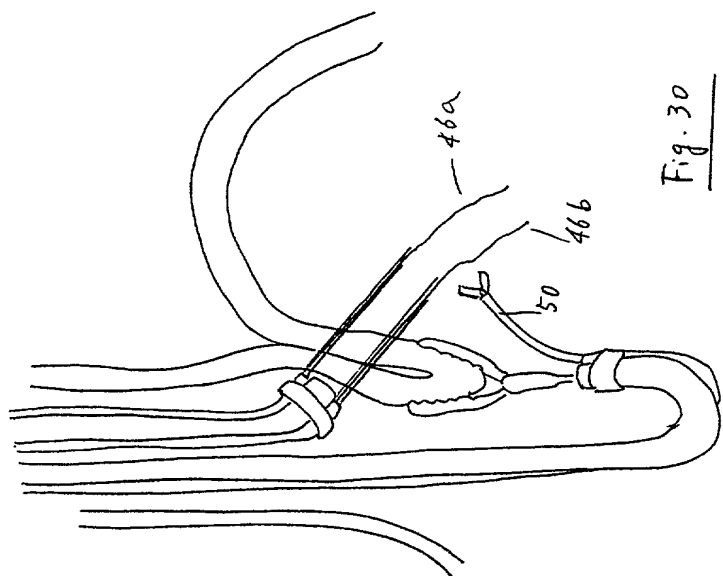
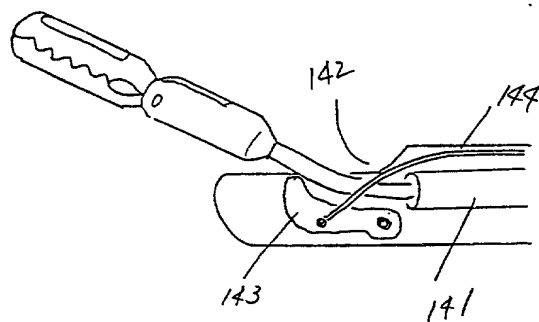
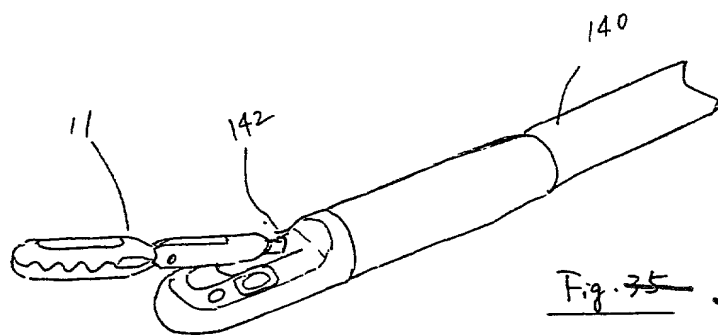
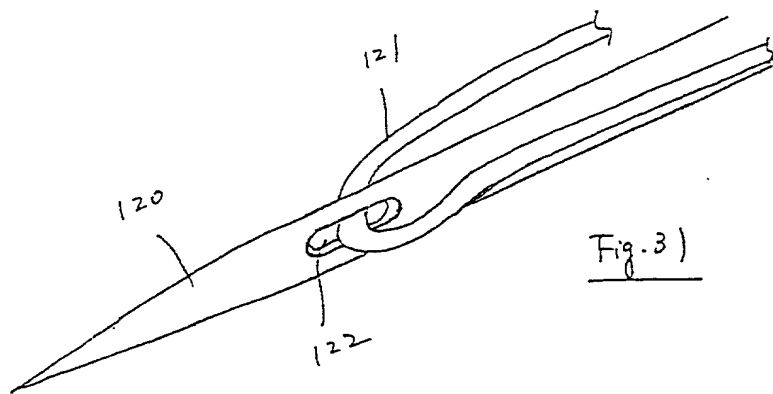


Fig. 30



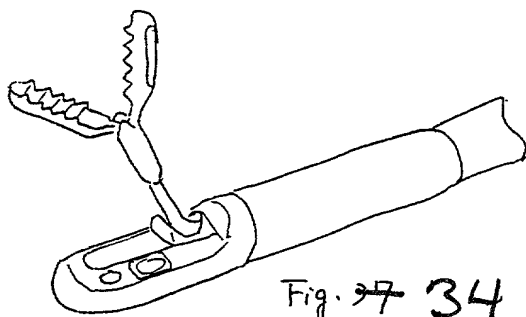


Fig. 34

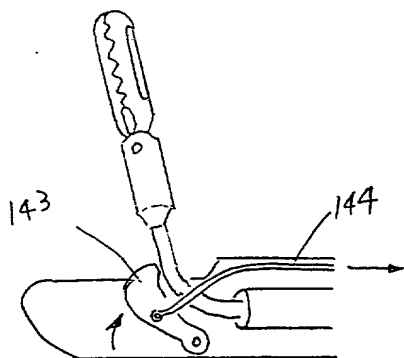


Fig. 35

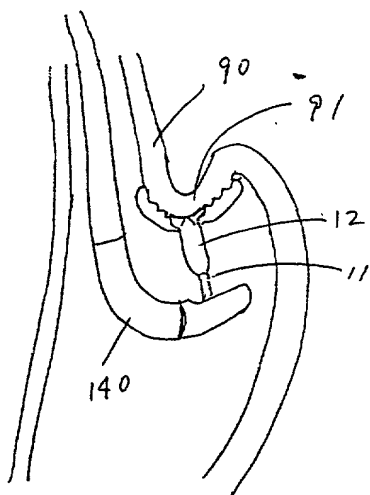
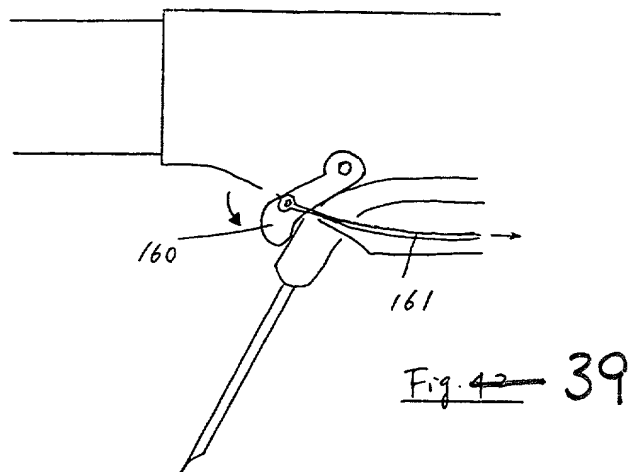
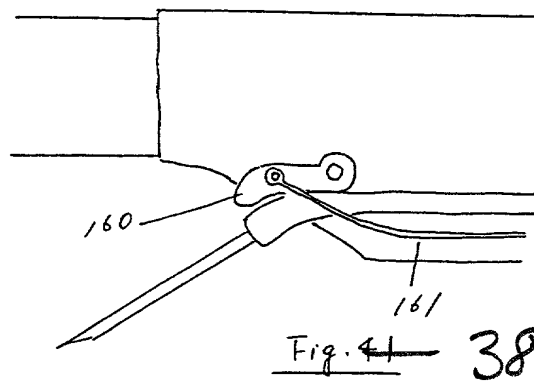
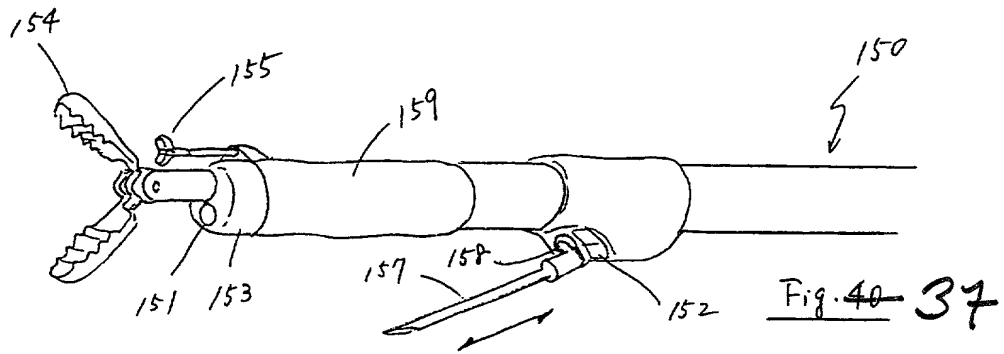


Fig. 36



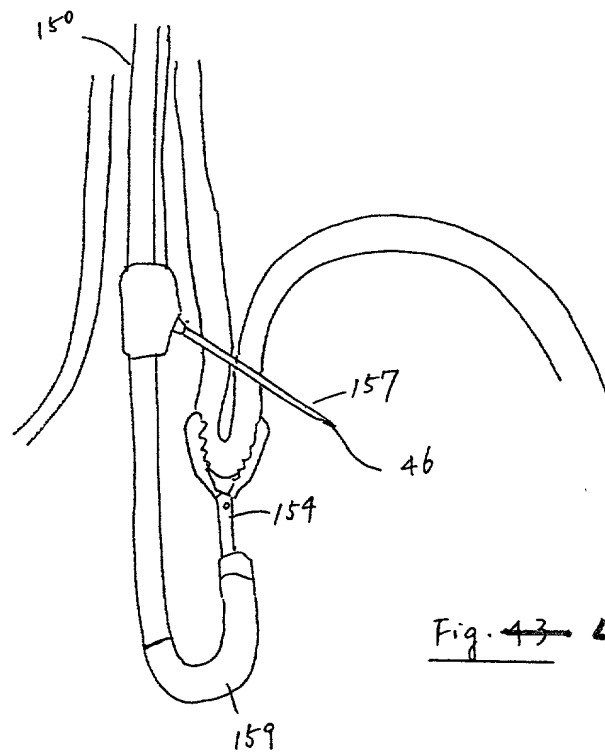
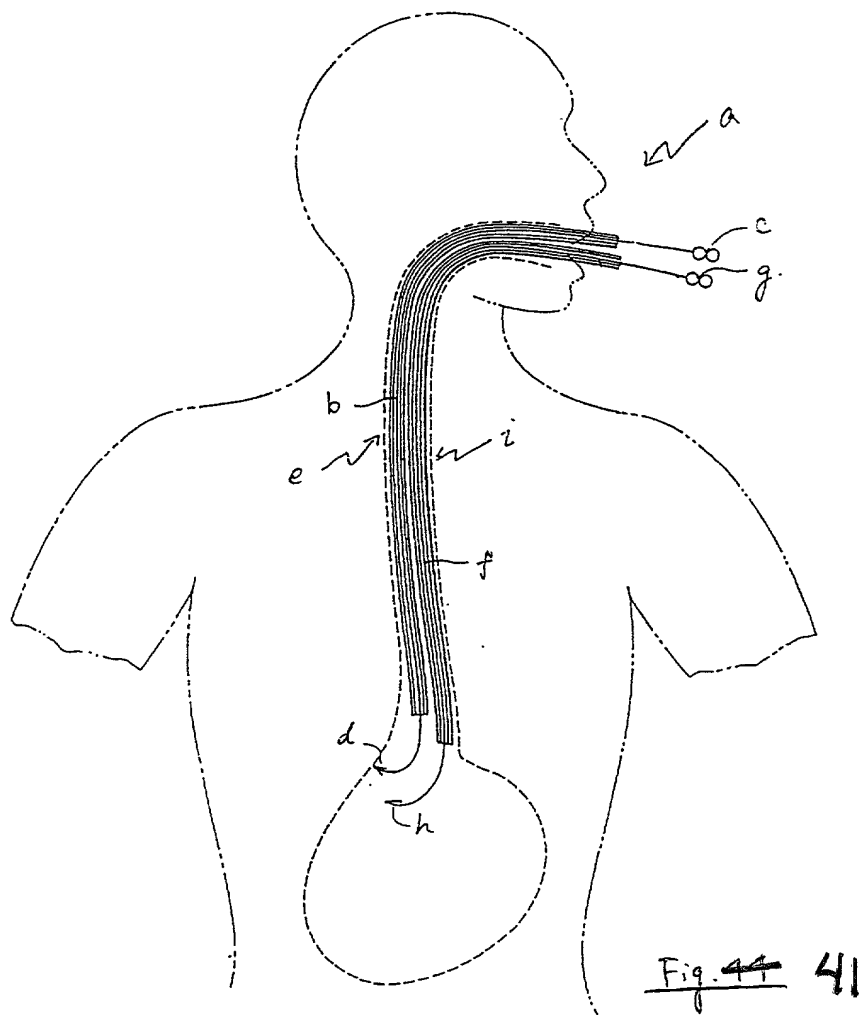


Fig. 43 40

Р



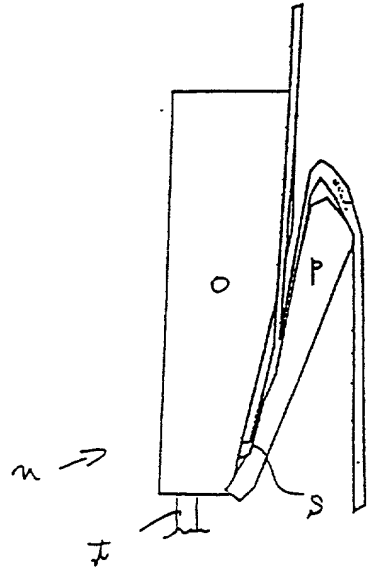


Fig. 45
"PRIOR ART"

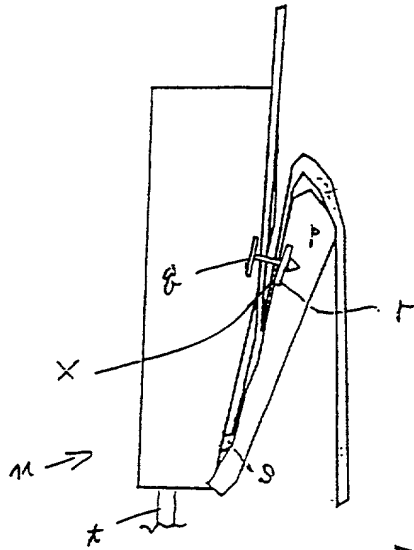


Fig. 46
"PRIOR ART"